

ЭКВИВАЛЕНТНАЯ СХЕМА ДЛЯ СИСТЕМЫ ДВУХ ТЕПЛОПРОВОДЯЩИХ СТЕРЖНЕЙ

В. А. ЖАДАН, Д. И. САННИКОВ

(Представлена научным семинаром кафедр общей электротехники
и электрических машин)

Решение ряда задач по расчету распределения температуры по длине обмоток электрических машин с учетом их тепловой связи с другими телами сводится к расчету системы двух параллельных стержней (обмотка и сердечник, обмотка и вал, обмотка и корпус и т. п.), связанных между собой и с охлаждающей средой равномерно распределенными тепловыми проводимостями и, кроме того, имеющих по торцам тепловой контакт с другими телами или средой.

Пусть $\Lambda_{\text{ов}}$ — взаимная проводимость на единицу длины стержней.

$\Lambda_{\text{оф}}$ и $\Lambda_{\text{вф}}$ — проводимости между стержнями и охлаждающей средой (на единицу длины).

r_o и r_b — аксиальные сопротивления стержней на единицу длины.

ρ_o и ρ_b — линейная плотность потерь.

Так как потери в одном из стержней (обмотке) обычно зависят от температуры, то необходимо принять

$$\rho_o = \rho_{oo} [1 + \alpha_o (\Theta_o - t_\delta)], \quad (1)$$

здесь ρ_{oo} — потери при базовой температуре t_δ ,

α_o — температурный коэффициент потерь.

В дальнейшем будет приниматься $t_\delta = 0$.

Температура охлаждающего потока t_f в электрических машинах в общем случае изменяется по длине. Это изменение может считаться практически линейным.

Требуется рассчитать распределение температуры по длине стержней $\Theta_o(x)$ и $\Theta_b(x)$ на отрезке $0 < x < l$, причем,

$$\begin{aligned} \Theta_o(0) &= \Theta_{o1}; \quad \Theta_o(l) = \Theta_{o2}; \quad \Theta_b(0) = \Theta_{b1}; \quad \Theta_b(l) = \Theta_{b2}; \\ t_f(0) &= t_{f1}; \quad t_f(l) = t_{f2}. \end{aligned}$$

На основании теплового баланса для элемента dx составляется система дифференциальных уравнений теплопроводности для стержней

$$\begin{aligned} \frac{1}{r_o} \frac{d^2 \Theta_b}{dx^2} + \Lambda_{oo} \Theta_o + \Lambda_{ob} \Theta_b + \Lambda_{of} \left(t_{f1} \frac{1-x}{l} + t_{f2} \frac{x}{l} \right) + p_{oo} &= 0; \\ \frac{1}{r_b} \frac{d^2 \Theta_o}{dx^2} + \Lambda_{ob} \Theta_b + \Lambda_{bb} \Theta_b + \Lambda_{bf} \left(t_{f1} \frac{1-x}{l} + t_{f2} \frac{x}{l} \right) + p_b &= 0, \end{aligned} \quad (2)$$

где

$$\Lambda_{oo} = -\Lambda_{ob} - \Lambda_{of} + \alpha_o \rho_{oo};$$

$$\Lambda_{bb} = -\Lambda_{ob} - \Lambda_{bf}.$$

Решение системы, выраженное через краевые температуры, запишется в следующем виде:

$$\begin{aligned}\Theta_0 = & \theta_{01}[n_\Delta f_\Sigma(1-x) + n_\Sigma f_\Delta(1-x)] + \theta_{02}[n_\Delta f_\Sigma(x) + n_\Sigma f_\Delta(x)] + \\ & + \theta_{B1}n_0[f_\Delta(1-x) - f_\Sigma(1-x)] + \theta_{B2}n_0[f_\Delta(x) - f_\Sigma(x)] + \\ & + k_0 t_{f1} \frac{1-x}{1} + k_0 t_{f2} \frac{x}{1} + t_{top};\end{aligned}\quad (3)$$

$$\begin{aligned}\Theta_B = & \theta_{01}n_B[f_\Delta(1-x) - f_\Sigma(1-x)] + \theta_{02}n_B[f_\Delta(x) - f_\Sigma(x)] + \\ & + \theta_{B1}[n_\Sigma f_\Sigma(1-x) + n_\Delta f_\Delta(1-x)] + \theta_{B2}[n_\Sigma f_\Sigma(x) + n_\Delta f_\Delta(x)] + \\ & + k_B t_{f1} \frac{1-x}{1} + k_B t_{f2} \frac{x}{1} + t_{bp},\end{aligned}\quad (4)$$

где

$$\begin{aligned}\theta_{01} &= \Theta_{01} - k_0 t_{f1} - t_{top}; \\ \theta_{02} &= \Theta_{02} - k_0 t_{f2} - t_{top}; \\ \theta_{B1} &= \Theta_{B1} - k_B t_{f1} - t_{bp}; \\ \theta_{B2} &= \Theta_{B2} - k_B t_{f2} - t_{bp}\end{aligned}\quad (5)$$

— отклонения температуры по концам стержней под влиянием условий охлаждения этих концов.

Функции распространения краевых отклонений поля:

$$f_\Sigma(x) = \frac{Sh\beta_\Sigma(x)}{St_i\beta_\Sigma}; \quad f_\Delta(x) = \frac{Sh\beta_\Delta(x)}{Sh\beta_\Delta}, \quad (6)$$

$f(1-x)$ получаются подстановкой $(1-x)$ вместо x .

Коэффициенты распространения краевых отклонений:

$$\beta_\Sigma = \sqrt{\frac{c_\Sigma + c_r}{2}}; \quad \beta_\Delta = \sqrt{\frac{c_\Sigma - c_r}{2}}, \quad (7)$$

где

$$c_\Sigma = -(r_o \Lambda_{oo} + r_b \Lambda_{bb}); \quad (8)$$

$$c_\Delta = r_o \Lambda_{oo} - r_b \Lambda_{bb};$$

$$c_r = \sqrt{C_\Delta^2 + 4r_o r_b \Lambda_{ob}^2}.$$

Относительные доли обеих функций отклонения в общем отклонении поля:

$$\begin{aligned}n_\Delta &= \frac{c_r - c_\Delta}{2c_r}; \quad n_\Sigma = \frac{c_r + c_\Delta}{2c_r}, \\ n_0 &= \frac{r_o \Lambda_{ob}}{c_r}; \quad n_b = \frac{r_b \Lambda_{ob}}{c_r}.\end{aligned}\quad (9)$$

Условные превышения температуры стержней над температурой охлаждающей среды, то есть превышения при отсутствии аксиальной теплопроводности стержней:

$$t_{top} = \frac{-p_{oo} \Lambda_{bb} + p_b \Lambda_{ob}}{D_\Lambda}; \quad t_{bp} = \frac{p_{oo} \Lambda_{ob} - p_b \Lambda_{oo}}{D_\Lambda}, \quad (10)$$

где

$$D_\Lambda = \begin{vmatrix} \Lambda_{oo} & \Lambda_{ob} \\ \Lambda_{ob} & \Lambda_{bb} \end{vmatrix}.$$

Коэффициенты, учитывающие влияние подогрева воздушного потока при зависимости потерь от температуры:

$$\kappa_o = \frac{-\Lambda_{of} \Lambda_{Bb} + \Lambda_{bf} \Lambda_{ob}}{D_A}; \quad \kappa_b = \frac{\Lambda_{of} \Lambda_{ob} - \Lambda_{bf} + \Lambda_{oo}}{D_A} \quad (11)$$

Для использования выражения (3) и (4) необходимо знать температуры концов стержней, которые могут быть найдены при учете условий их связи с соседними телами. С этой целью на основании (3) и (4) составляются уравнения связи между краевыми температурами и тепловыми потоками, направленными из торцов стержней к соседним телам,

$$Q_{o1} = -\frac{1}{r_o} \frac{d\Theta_o}{dx} (x=0), \quad (12)$$

$$Q_{o2} = +\frac{1}{r_o} \frac{d\Theta_o}{dx} (x=1),$$

аналогично для Q_{b1} и Q_{b2} .

Далее определяются средние температуры стержней

$$\bar{\Theta}_o = \frac{1}{l} \int_0^l \Theta_o dx; \quad \bar{\Theta}_b = \frac{1}{l} \int_0^l \Theta_b dx. \quad (13)$$

и с их помощью из (12) исключаются условные температуры t_{op} и t_{bp} .

В результате получается система из шести уравнений, связывающих температуры Θ_{o1} , Θ_{o2} , $\bar{\Theta}_o$, Θ_{b1} , Θ_{b2} , $\bar{\Theta}_b$, источники тепла $F'_{oo} = p_{ool}$, $P'_{bb} = p_{bl}$, равные полным потерям в стержнях, и кривые потоки Q_{o1} , Q_{o2} , Q_{b1} , Q_{b2} . На основании полученной системы может быть составлена эквивалентная схема (рис. 1).

Параметры схемы:

полные проводимости между стержнями и охлаждающим воздухом —

$$\bar{G}_{of} = \Lambda_{ofl}, \quad \bar{G}_{bf} = \Lambda_{bfl}; \quad (14)$$

проводимость, учитывающая увеличение потерь в обмотке с ростом температуры (отрицательная), —

$$G_{ot} = -\alpha_{opool}. \quad (15)$$

Остальные выражения для параметров получаются чрезмерно громоздкими, поэтому для машин малой и средней мощности целесообразно разложить их в степенные ряды и взять один или два члена разложения в зависимости от требуемой точности.

$$G_{fo} = \frac{1}{12} \bar{G}_{of}; \quad G_{fb} = \frac{1}{12} \bar{G}_{bf}. \quad (16)$$

проводимости, учитывающие несимметричный характер охлаждения, вызванный подогревом потока.

$$g_{ro} = \frac{6}{r_0 l} - \frac{\Lambda_{oo} l}{10}; \quad g_{rb} = -\frac{6}{r_b l} - \frac{\Lambda_{bb} l}{10}; \quad (17)$$

$$g_{lo} = -\frac{2}{r_0 l} - \frac{\Lambda_{oo} l}{30}; \quad g_{lb} = -\frac{2}{r_b l} - \frac{\Lambda_{bb} l}{30}$$

— эквивалентные аксиальные проводимости стержней.
Взаимные проводимости стержней

$$\bar{G} = 36 \frac{\Lambda_{ob} l}{30}; \quad \bar{G}' = 4 \frac{\Lambda_{ob} l}{30}; \quad (18)$$

$$\bar{G}'' = -3 \frac{\Lambda_{ob} l}{30}; \quad \bar{G}''' = -\frac{\Lambda_{ob} l}{30}.$$

Сумма всех взаимных проводимостей

$$\bar{G} + 2\bar{G}' + 4\bar{G}'' + 2\bar{G}''' = \Lambda_{OB} l.$$

равна полной проводимости между стержнями.

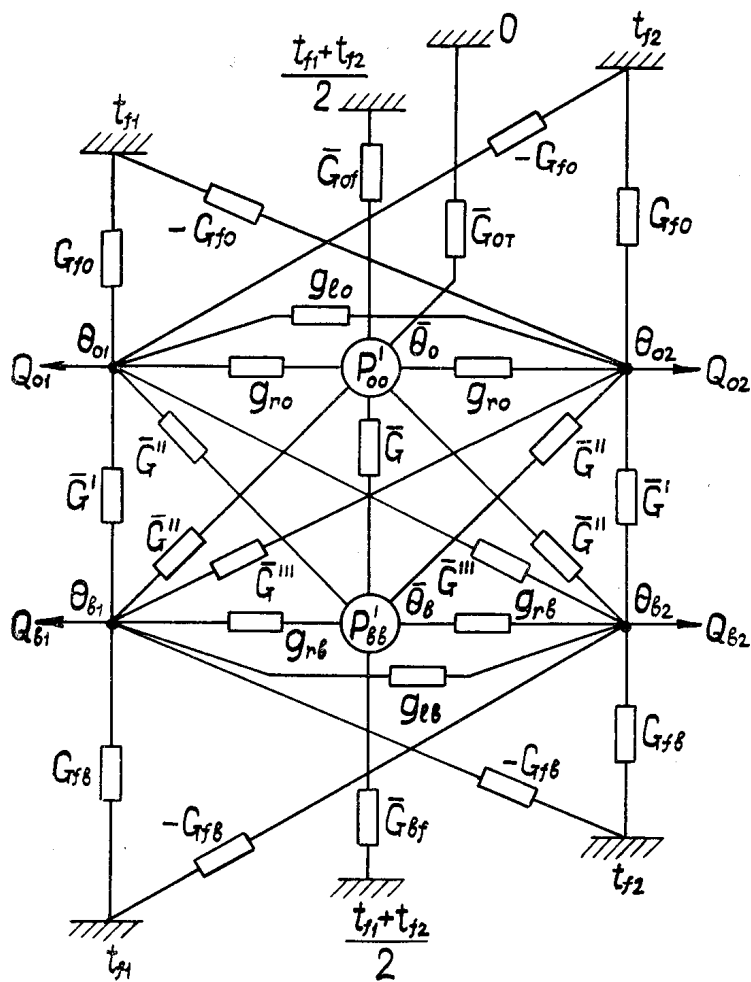


Рис. 1. Эквивалентная схема двух стержней.

Погрешность расчета температуры обмотки при использовании приближенных формул тепловых проводимостей не превосходит 1 проц. при $l < 50$ см. Таким образом, предлагаемый метод расчета параметров схемы вполне пригоден для активной длины электрических машин малой и средней мощности.

При расчете распределения температуры по длине стержня вместо точных формул (3) и (4) удобнее пользоваться формулой эквивалентной параболы.

$$\Theta_o = \Theta_{o1} \frac{1-x}{1} + \Theta_{o2} \frac{x}{1} + 3(2\bar{\Theta}_o - \Theta_{o1} - \Theta_{o2}) \frac{x}{1} \frac{1-x}{1} \quad (19)$$

Предлагаемый тип схемы замещения особенно удобен при использовании ЭЦВМ ввиду довольно значительного количества уравнений, которые необходимо решать при определении узловых температур схемы и в то же время ввиду простоты расчета коэффициентов этих уравнений.